

九州大学 工学部 ○ 学生員 牧角 龍憲

正員 松下 博通

福岡北九州高速道路公社 正員 江崎 正敏

1. まえがき

福岡高速1号線東地区に設けられるon-offランプの曲線部は、曲線半径40~44mの4径間のPC単純中空床版橋で構成され、1径間あたりの曲線交角が29°程度になっている。このような曲線床版橋においては、直線床版橋に比較してねじりモーメントに関する挙動が重要な問題となるが、この種の挙動に関する実験例は殆ど無く施工実績はあるが、その安全性に対して十分把握されておらず不明確な点が多い。そこで今回、設計計算方法およびその結果の妥当性について検討するとともに、実橋の安全性を確認することを目的として、縮尺1/5の模型曲線橋を作製し、実験を行った。その結果として、格子理論による設計計算が妥当であること、示方書に準じたねじり補強鉄筋量は十分効果があることなどを得た。ここにその報告をする。

2. 模型の作製

模型の断面寸法はすべて実橋の1/5とし、その寸法を図-1に示す。鉄筋は、ピッチや径およびかぶせ幅をそのまま1/5にすると不合理が生じるため、主たる使用鉄筋をφ6mmとして、実橋での鉄筋数本を1本におきかえる方法をとった。スターラップは、実橋では100, 125, 250mmピッチの区分を、打設の都合上一律50mmピッチとした。横方向筋ならびに張出し床版筋には付着長の関係より1本ものを通した。PC鋼棒はSBPRφ10ø11を各主筋に2本、計8本使用し、有効プレストレスは実橋とほぼ同程度の上縁-11.1%下縁98.9%である。PC導入は初回7日で行ない中の2本の主筋を締めて、外側を締める方法とした。支承は実橋と同じゴム支承とし、そのバネ定数は実橋の1/5とした。コンクリートの配合は表-1に示すとおりで、生コンを使用した。

3. 格子理論による設計の検討

本橋においては、図-2に示すように橋軸方向を8分割して格子理論により曲げ、ねじりモーメント、たわみの影響線および断面力を算定した。この格子理論による影響線を検討するため、図-2に示す格架に1点集中載荷を行ない、表面ひずみおよびたわみを算定した。荷重の大きさはひじめ小荷重以下の3tonとし、1点載荷の他に橋軸方向にまたがる2点載荷、線荷重としての4点載荷も行った。(写真-1) 図-3に格架22に1点載荷した場合、図-4に格架19~22に4点載荷した場合のたわみ測定結果を示すが、ほとんど理論値と

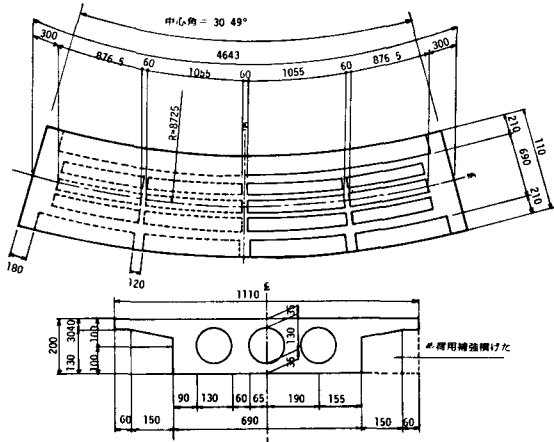


図-1 模型の断面寸法

表-1 コンクリートの配合

粗骨材最大寸法	スランプ	W/C	S/A	単位量 (kg/m³)				
				W	C	S	G	ポゾリスNo. 70
(mm)	(cm)	(%)	(%)					(cc/m³)
10	8	40	46	210	525	741	926	1313

5	14	23	32	41
4	9	13	18	22
3	8	12	17	21
2	7	11	16	20
1	6	10	15	19

図-2 格子理論解析における格架

実験値は一致しており、他の格子における載荷でも理論値と実験値の比は0.95~1.10の範囲内にあり、格子理論による設計は妥当であるといえよう。

4. 直線橋との比較

曲線橋の中軸における橋長と同じ長さ

の直線橋を、配筋状況を曲線橋と同様にして作製し、弾性範囲の変動、ひびわれ荷重および破壊荷重について比較検討した。図-5に荷重一たわみ曲線を示すが、曲線橋の内側たわみと直線橋のたわみはほぼ同じであるが、外側のたわみはかなり大きいことがわかる。しかしながら、破壊荷重は表-2に示すように同じで破壊形式も同じ曲げ破壊であり、示方書に準じたねじり補強鉄筋量はねじりに対して十分効果があるといえよう。図-5中の理論値は曲線橋の格子理論による影響線から描いたものである。

5. ねじり補強筋(横方向鉄筋)量の検討

ねじりに対する補強筋は軸方向と横方向鉄筋があるが、横方向筋はせん断補強筋と別個に求めるためかなりの鉄筋量となる。そこで断面寸法は同一で、横方向鉄筋量を原橋の $\frac{1}{5}$ (No.2)および $\frac{1}{3}$ (No.3)にした曲線橋を作製し、その耐力および破壊形式を比較した。その際、横方向筋ピッチをそれぞれ25cm, 15cmとした。表-2にその結果を、図-6に破壊形状を示すが、横方向筋を減らした場合斜引ひびわれは伴なうが、ねじりモーメントの大きい断面では破壊せず、ひびれも曲げ破壊であった。このことから、現示方書規準に準じたねじり補強鉄筋量は十分安全側であるといえよう。

最後に実験を担当した岩本史生君およびPC建設業協会、土木実験室の方々に謝意を表します。

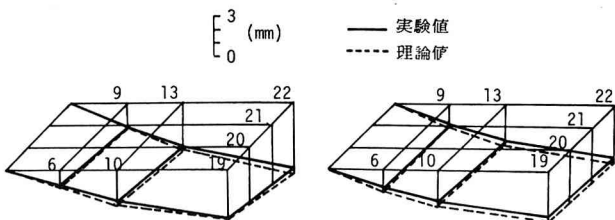


図-3 1点載荷(22)におけるたわみ
図-4 4点載荷(19-22)におけるたわみ

荷重一たわみ曲線

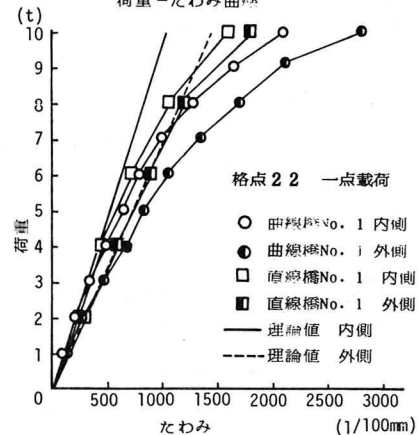


図-5 荷重一たわみ曲線

表-2 ひびわれおよび破壊荷重

	載荷位置	曲線橋No. 1	曲線橋No. 2	曲線橋No. 3	直線橋
ひびわれ荷重	19-22	5.60ton	6.20ton	6.20ton	6.60ton
再ひびわれ荷重	19-22	4.80	4.20	4.80	5.60
破壊荷重	22	16.00	13.95	14.32	15.94
破壊形式	22	コンクリートの圧壊による曲げ破壊	斜めひびわれを伴う曲げ破壊	斜めひびわれを伴う曲げ破壊	コンクリートの圧壊による曲げ破壊

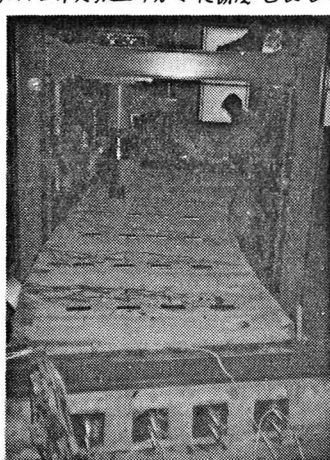


写真-1 載荷状況(1点載荷)

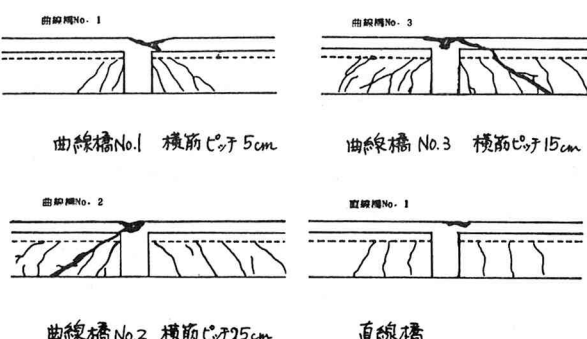


図-6 破壊状況